

Fig. 1

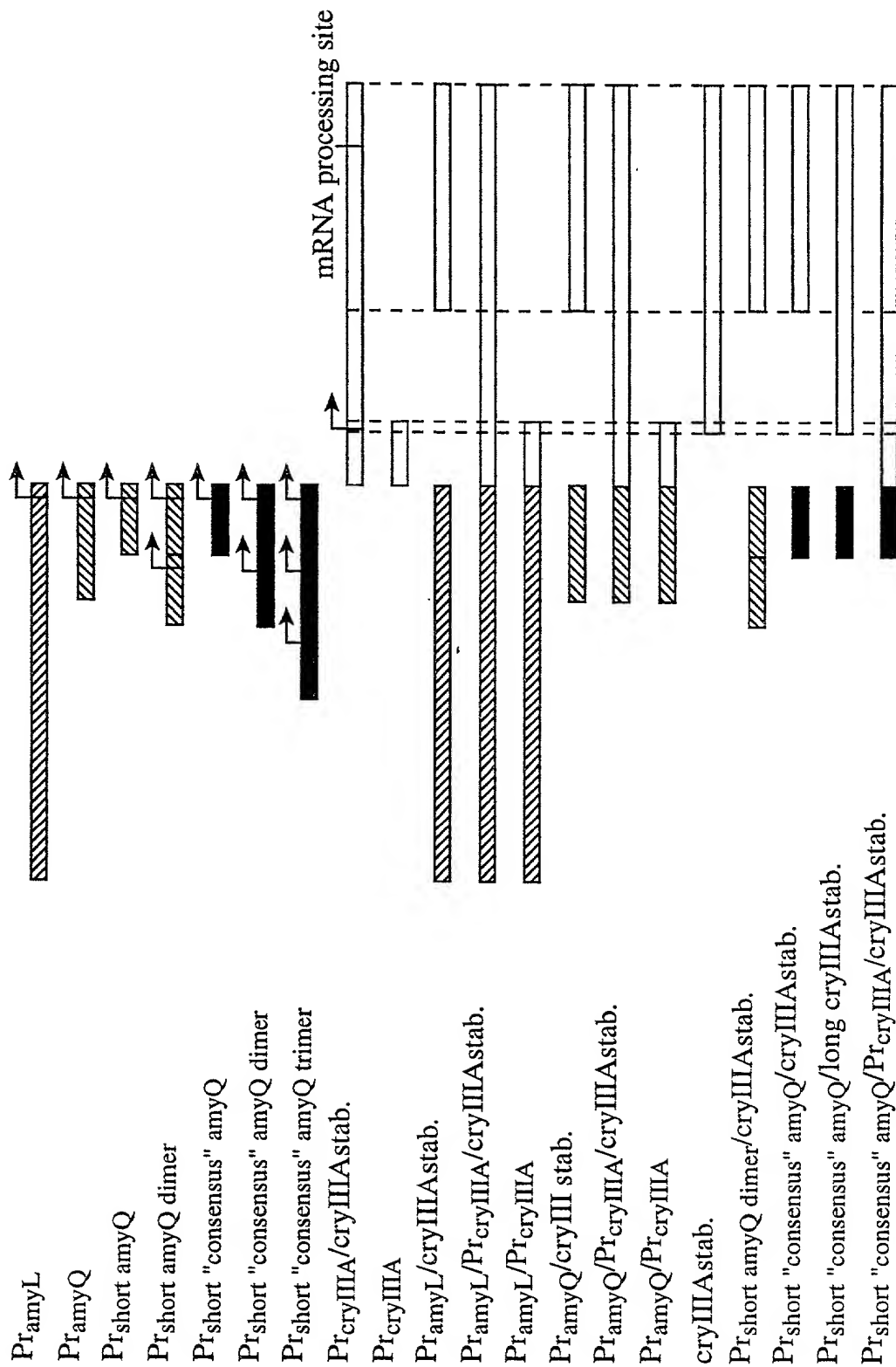


Fig. 2

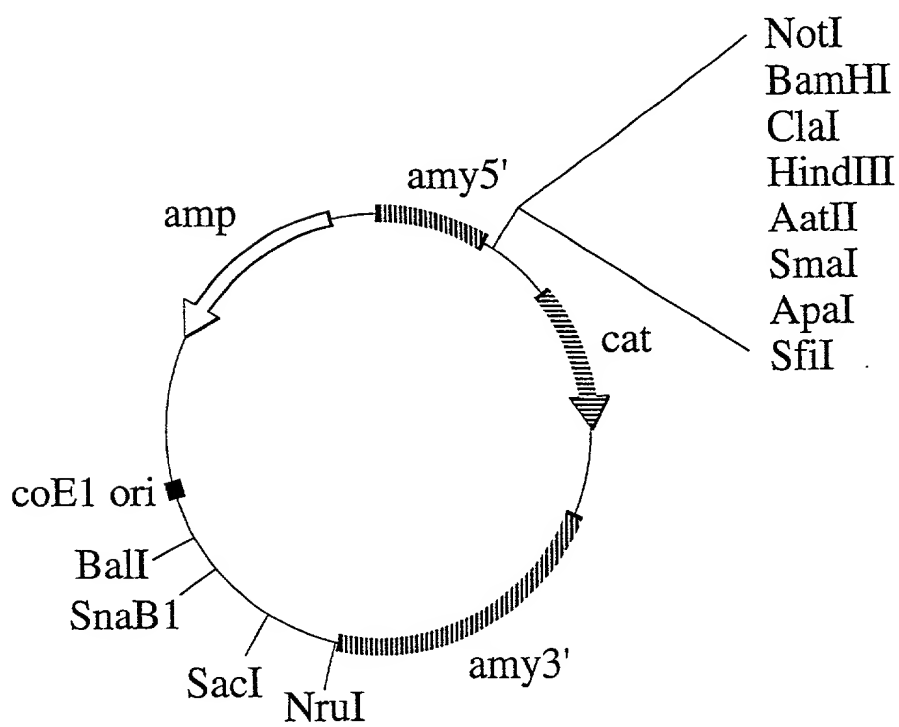


Fig. 3

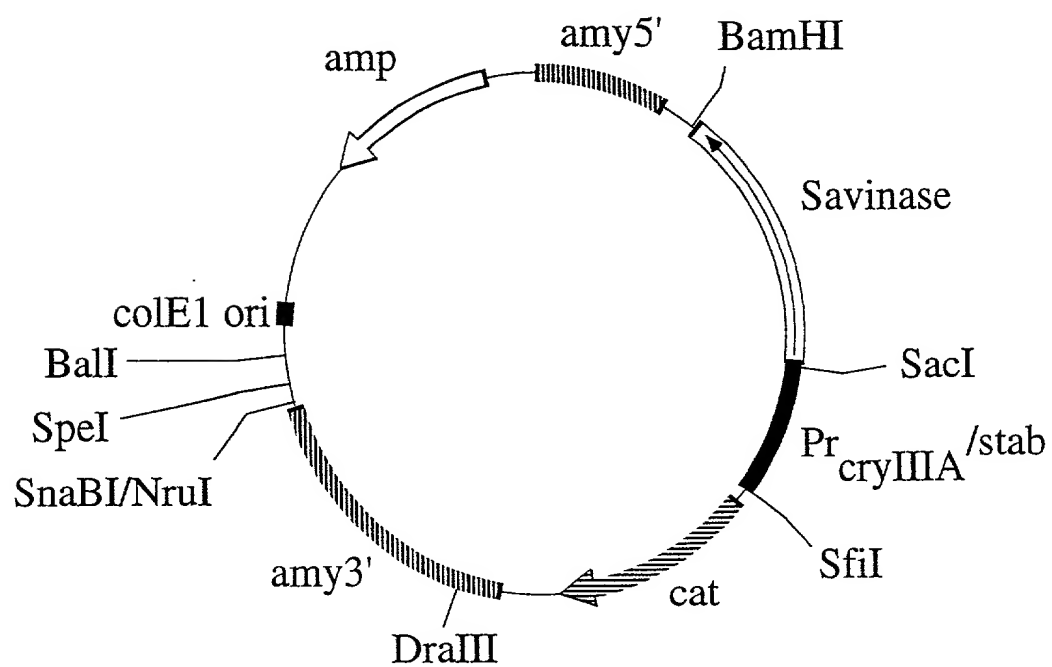


Fig. 4

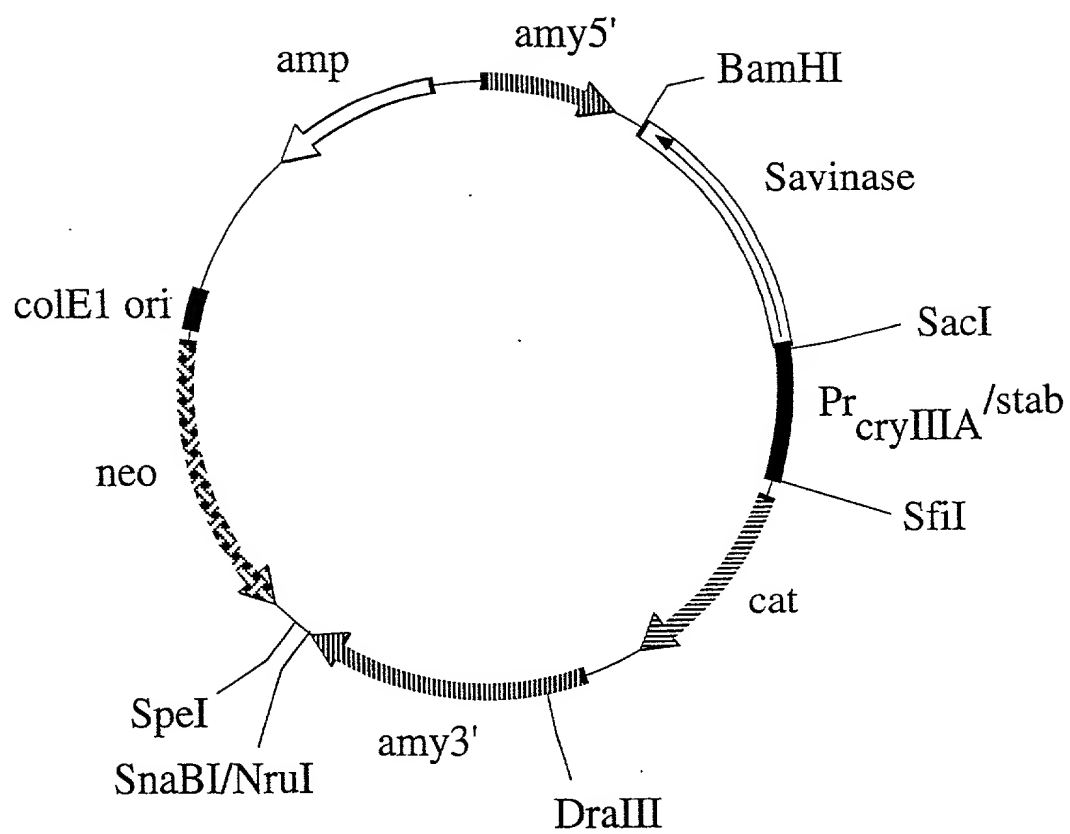


Fig. 5

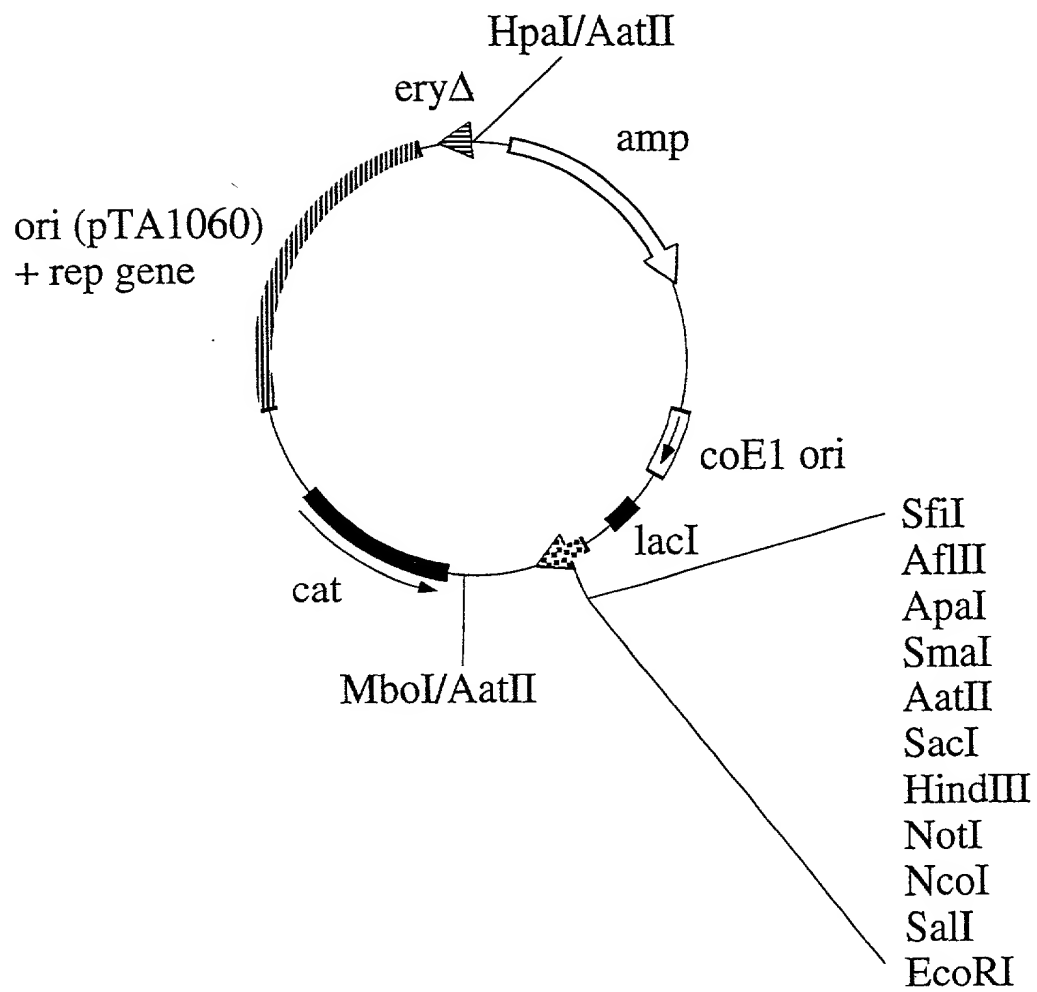


Fig. 6

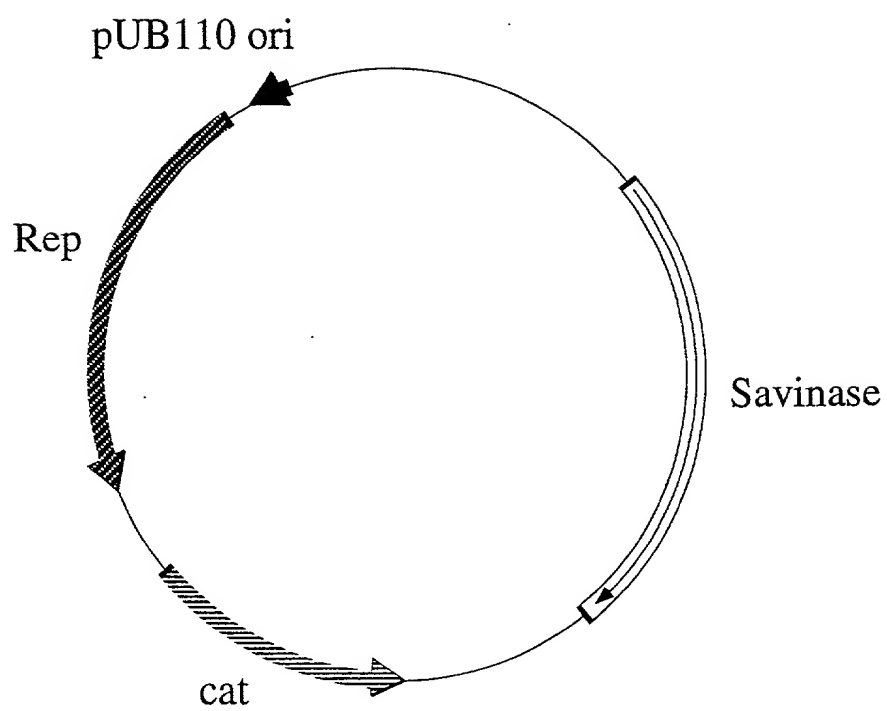


Fig. 7

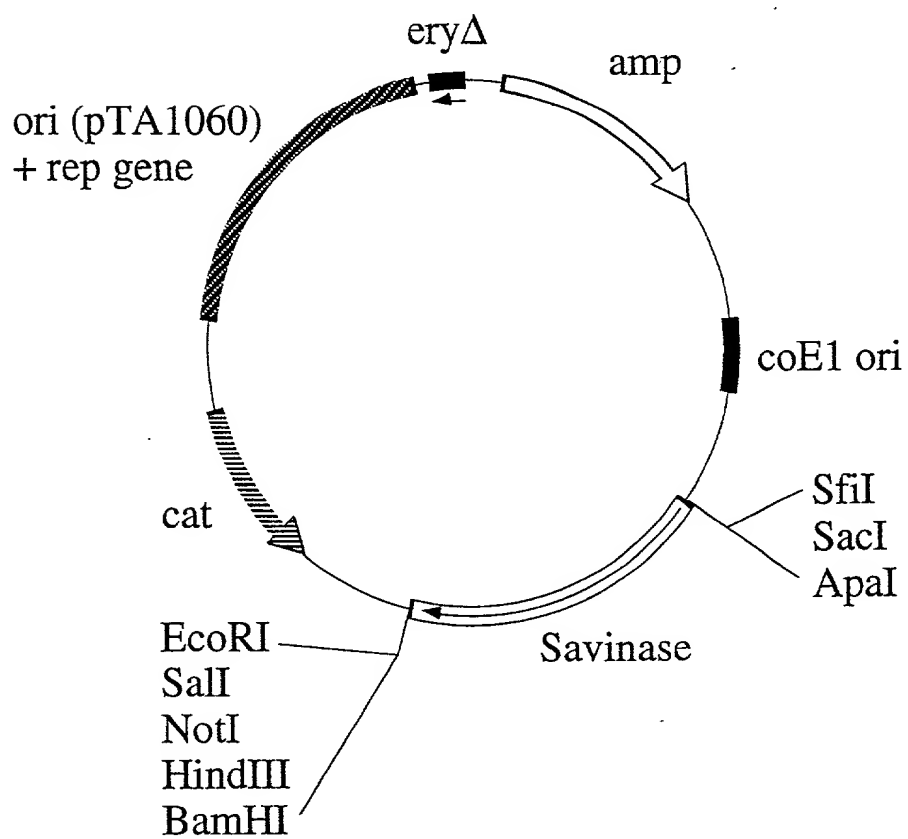


Fig. 8



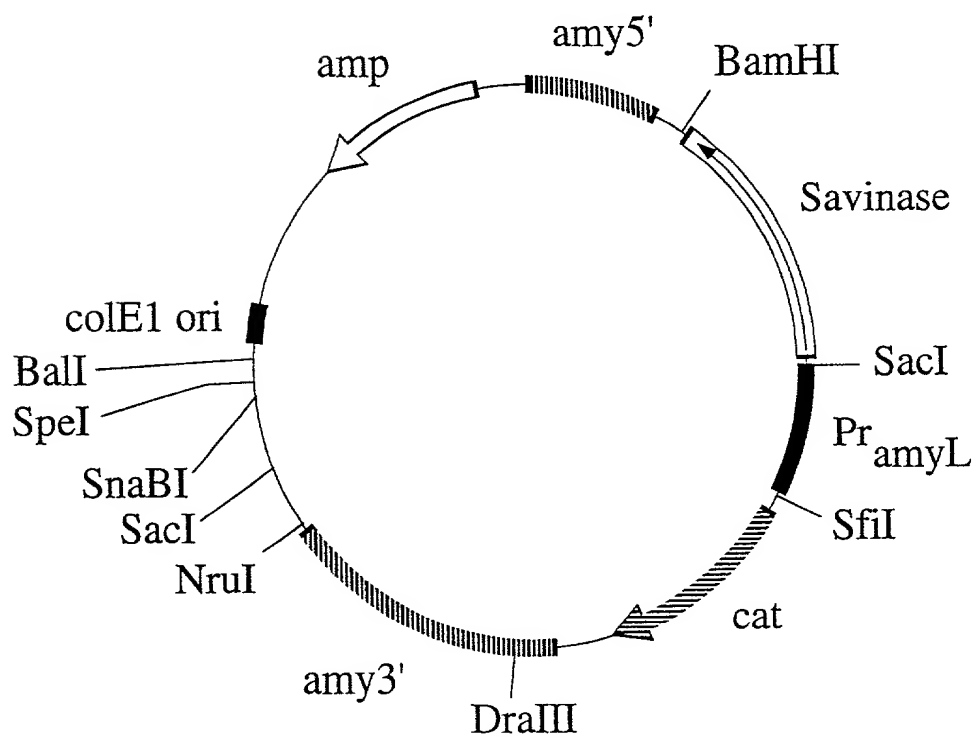


Fig. 9

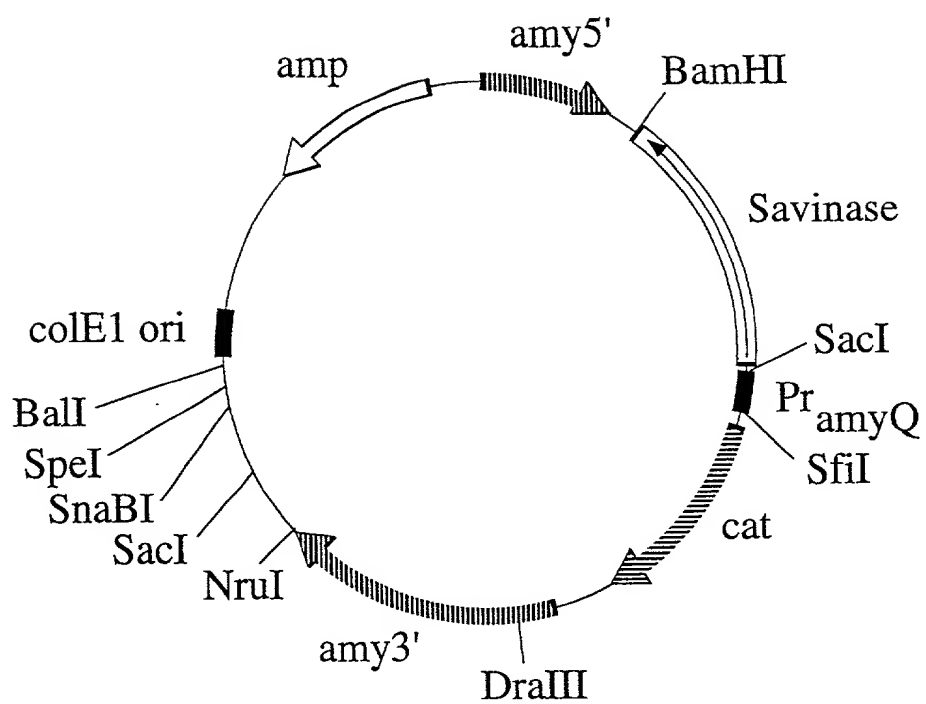


Fig. 10

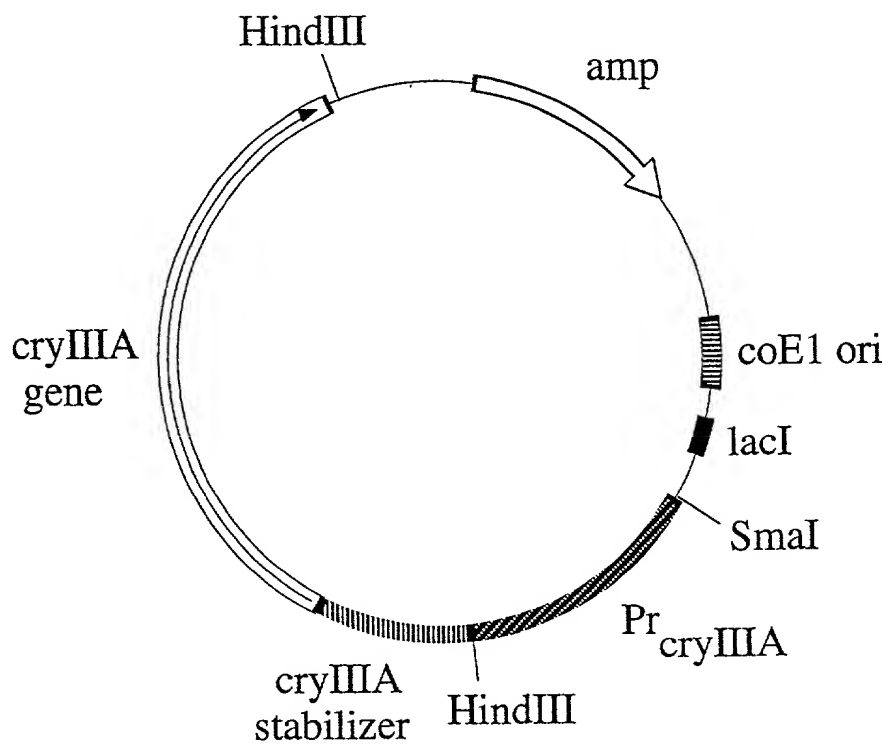


Fig. 11

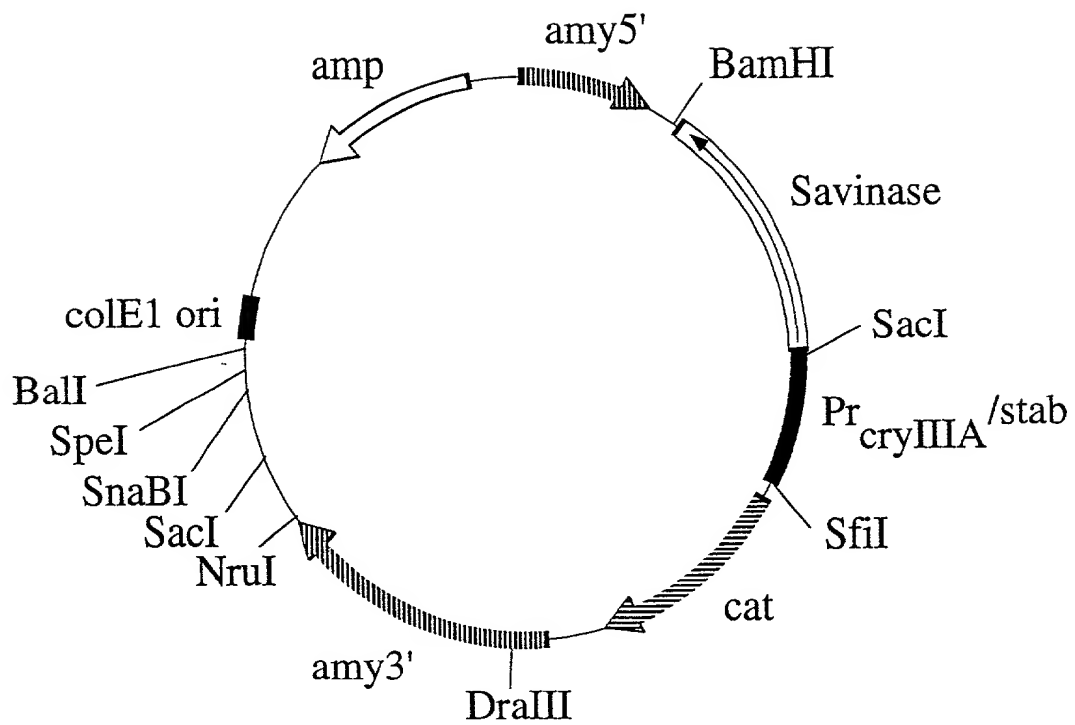


Fig. 12

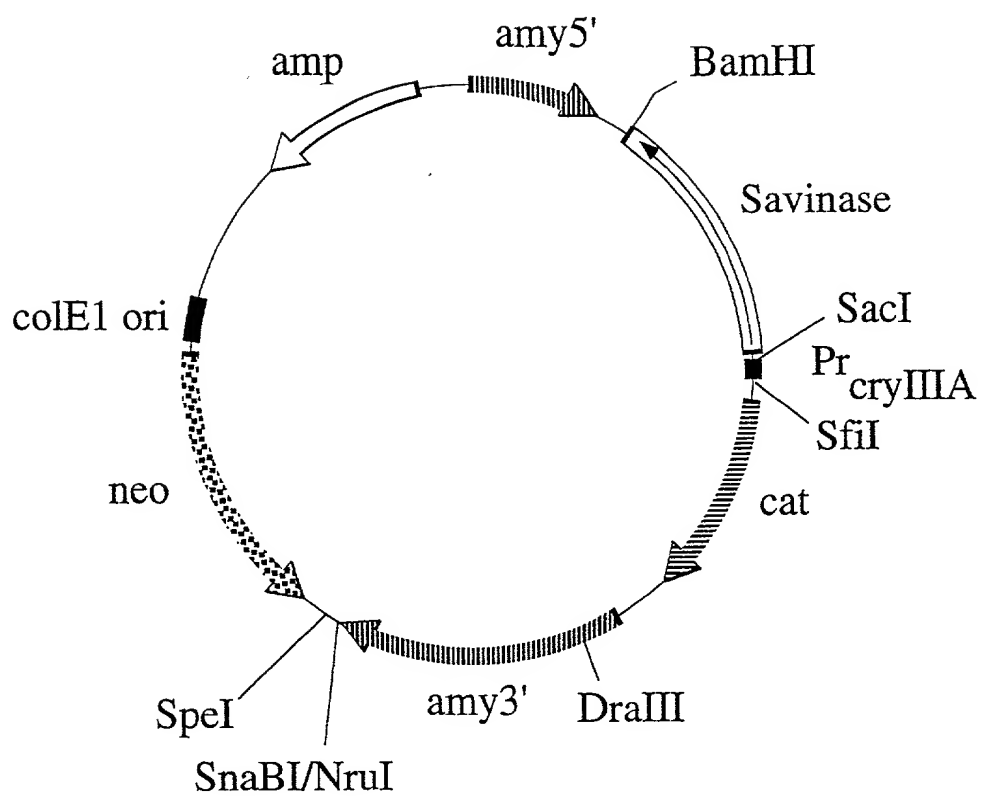


Fig. 13

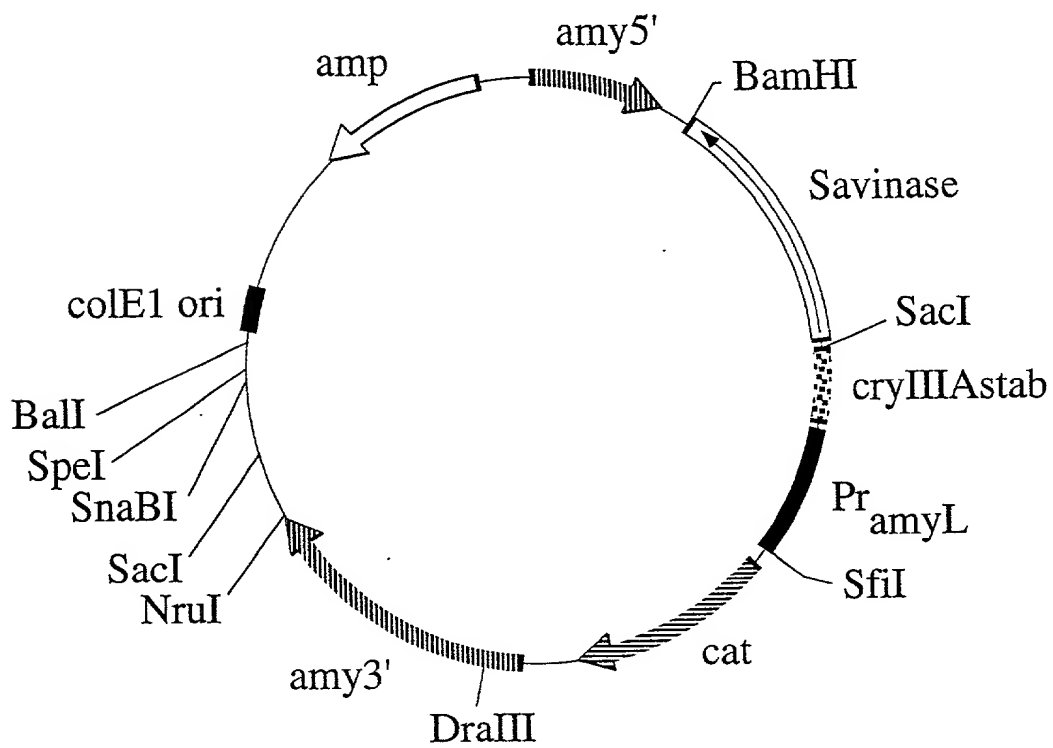


Fig. 14

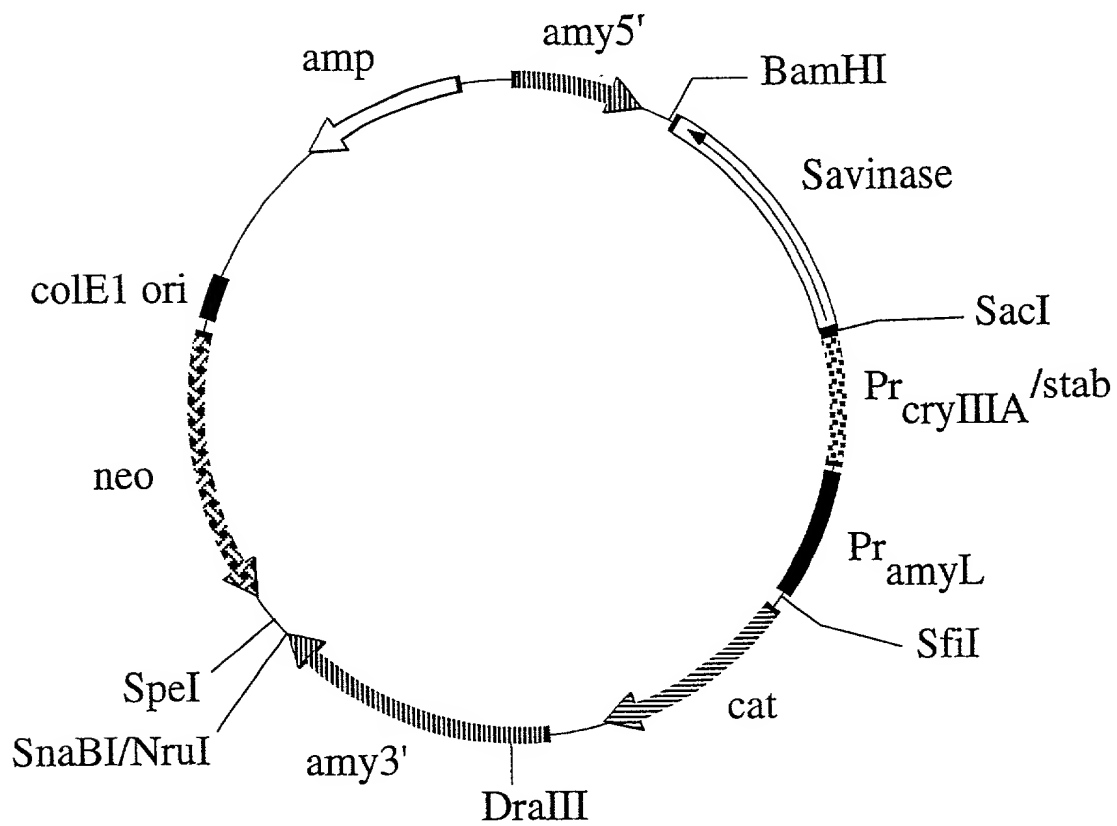


Fig. 15

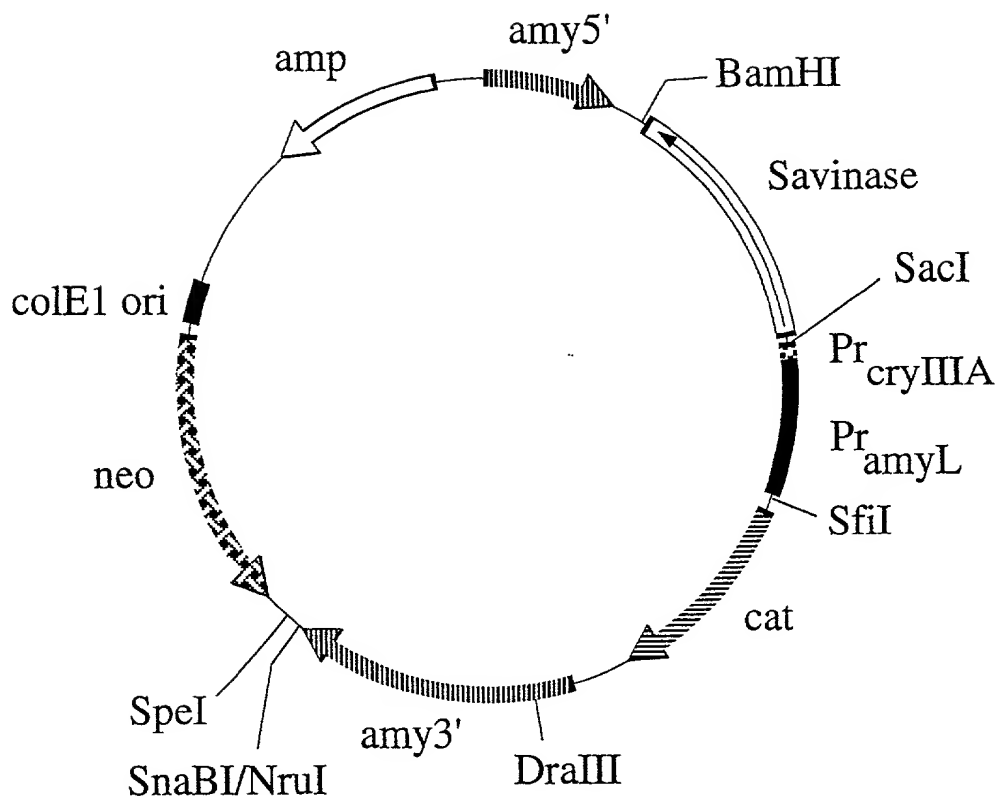


Fig. 16



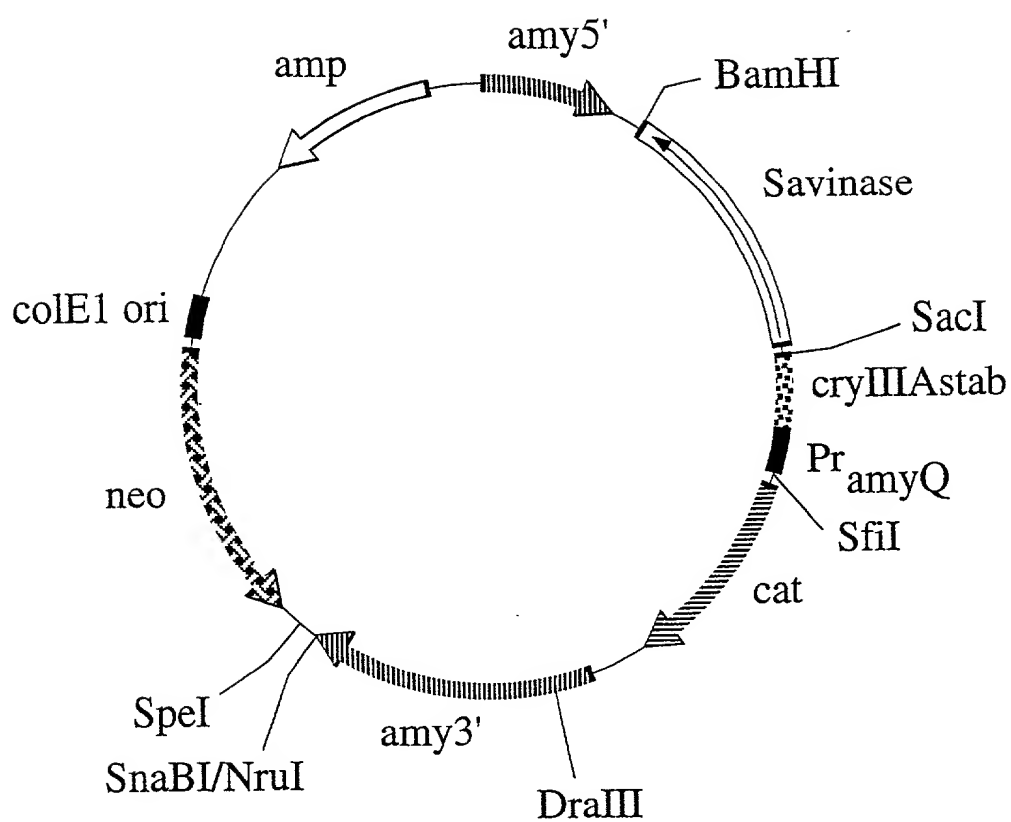


Fig. 17

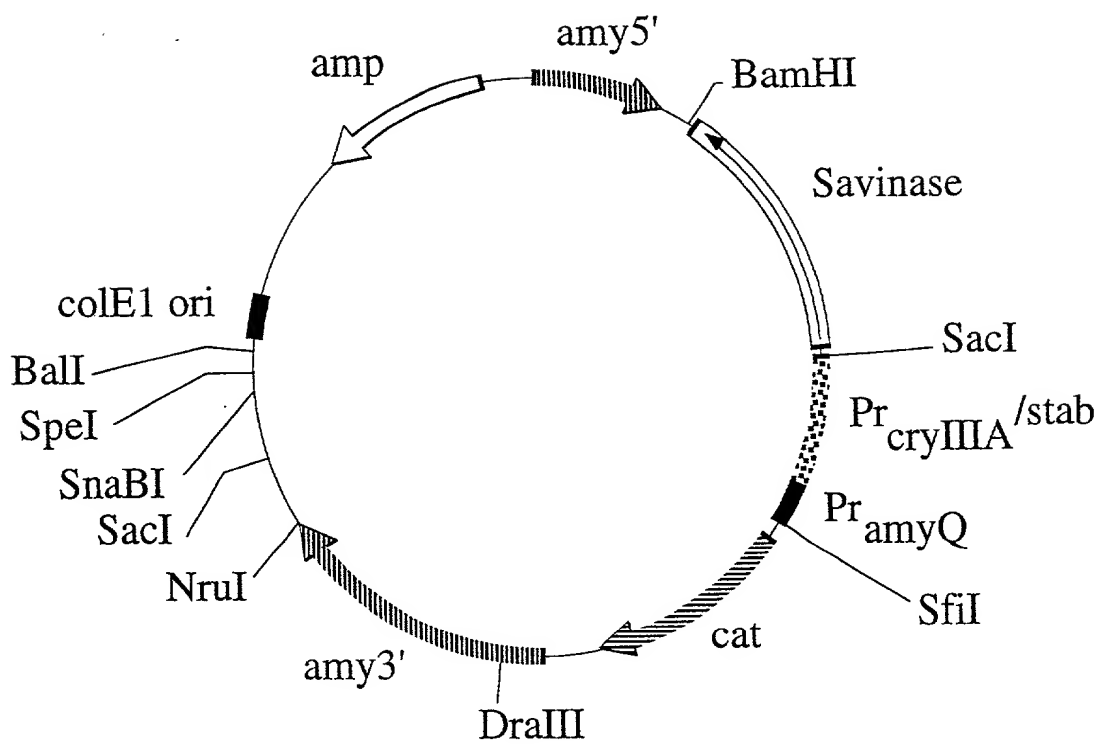


Fig. 18

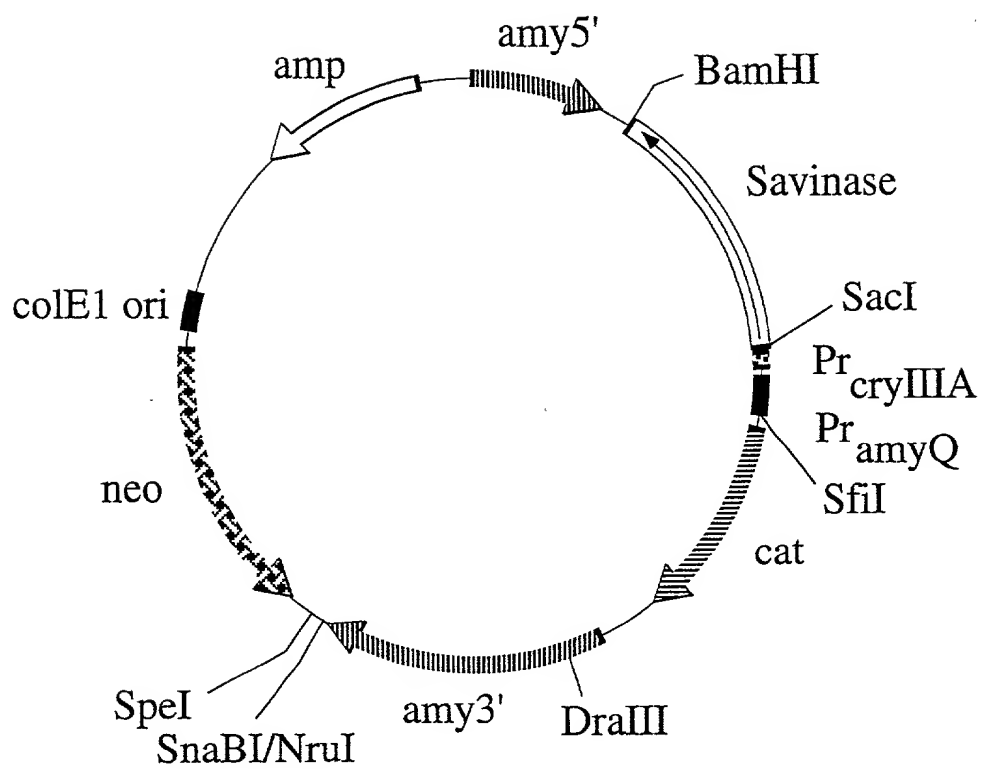


Fig. 19

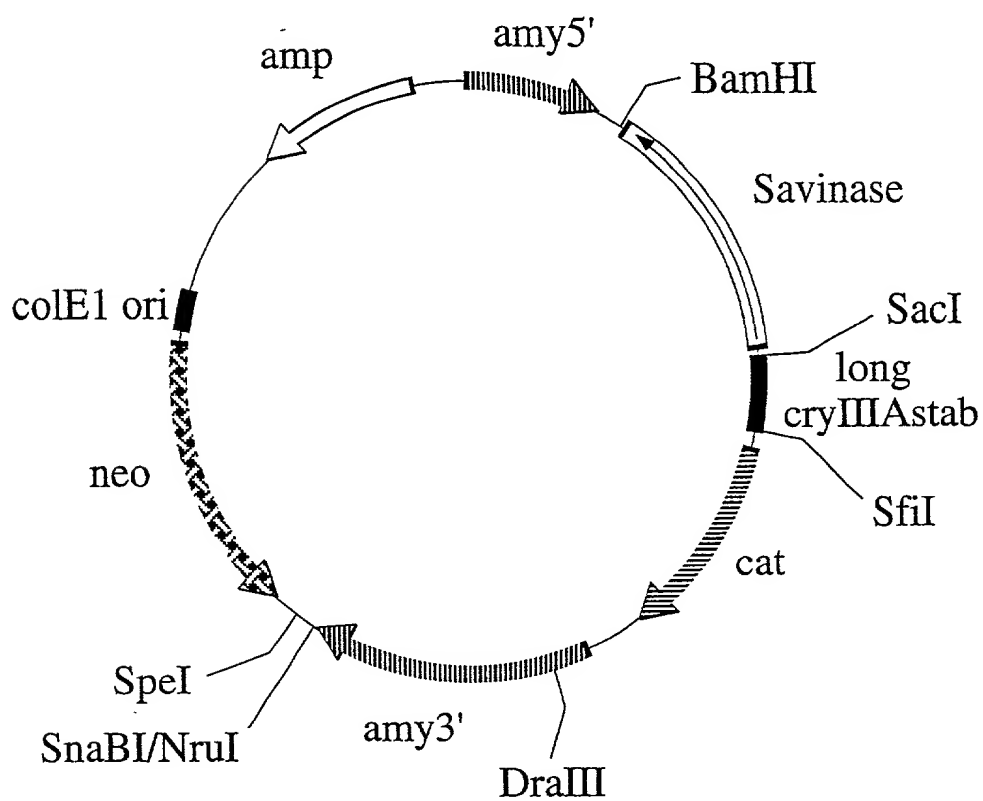


Fig. 20

*Sfi*I

GGCCT TAAGGGCCTG CAATCGATTG TTTGAGAAAA

GAAGAAGACC ATAAAAATAC CTTGTCTGTC ATCAGACAGG GTATTTTTTA

-35

t

a

TGCTGTCCAG ACTGTCCGCT GTGTAAAAAA AAGGAATAAA GGGGGGTTGT

-10

c

t

*Sac*I

TATTATTTTA CTGATATGTA AAATATAATT TGTATAAGAA AATGGAGCTC

Fig. 21

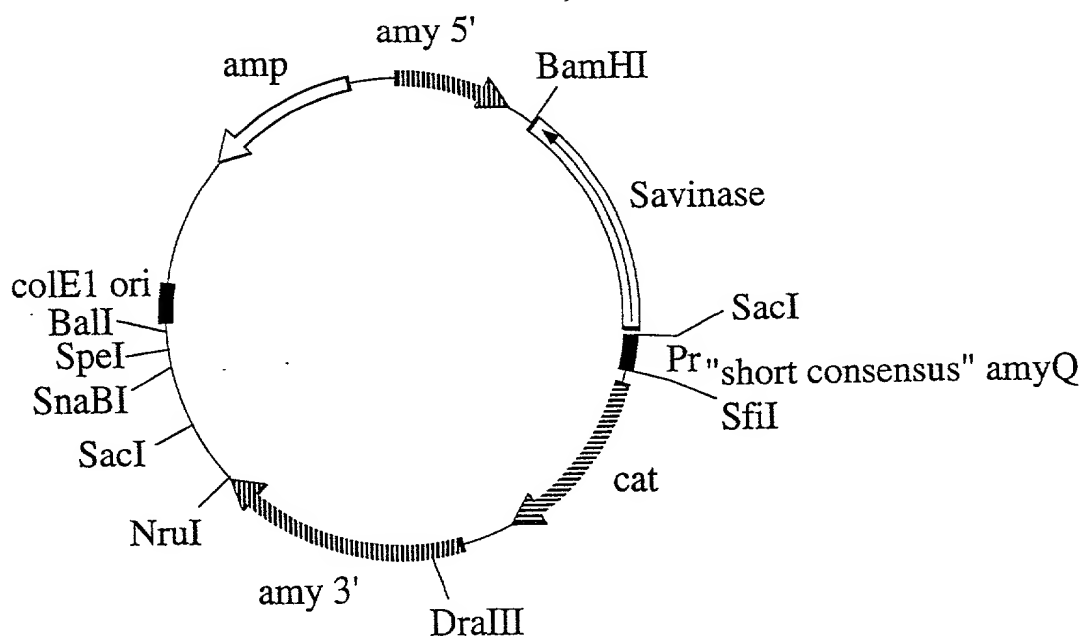


Fig. 22

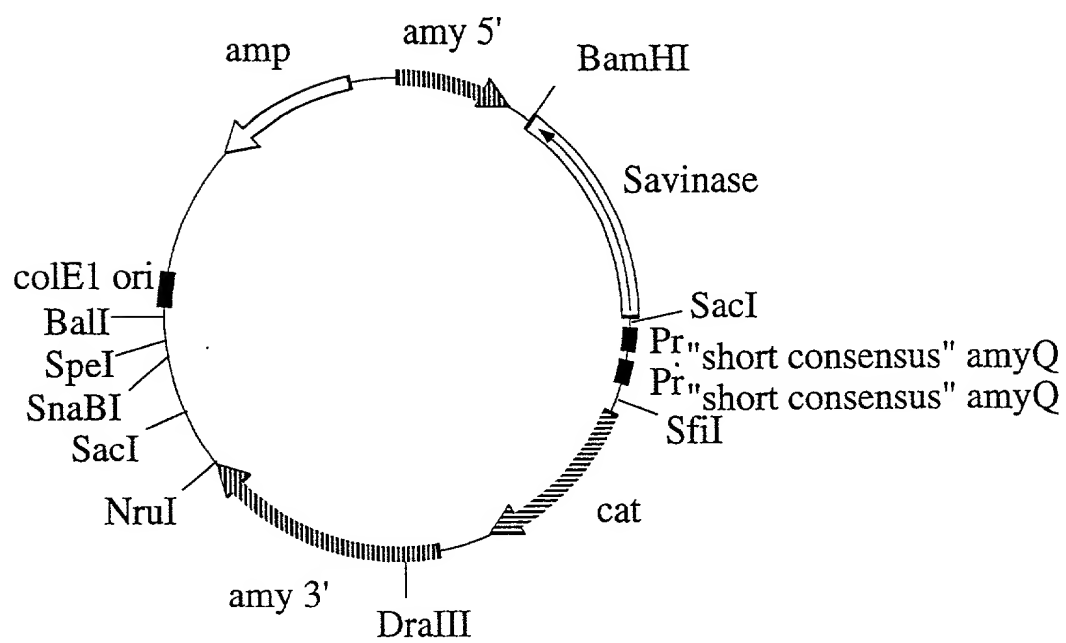


Fig. 23

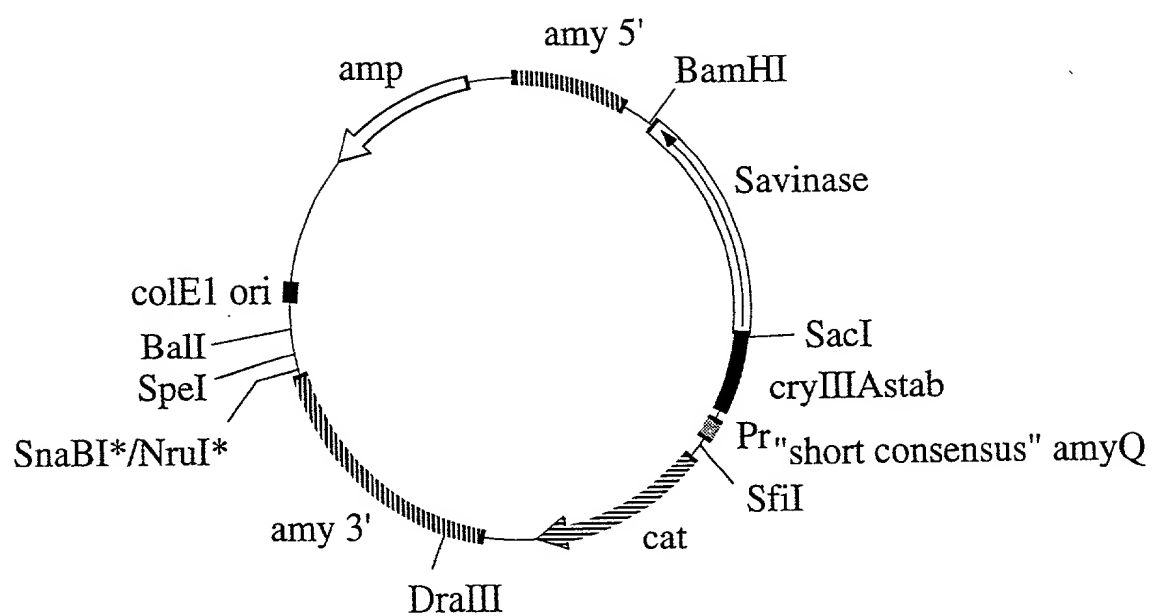


Fig. 24





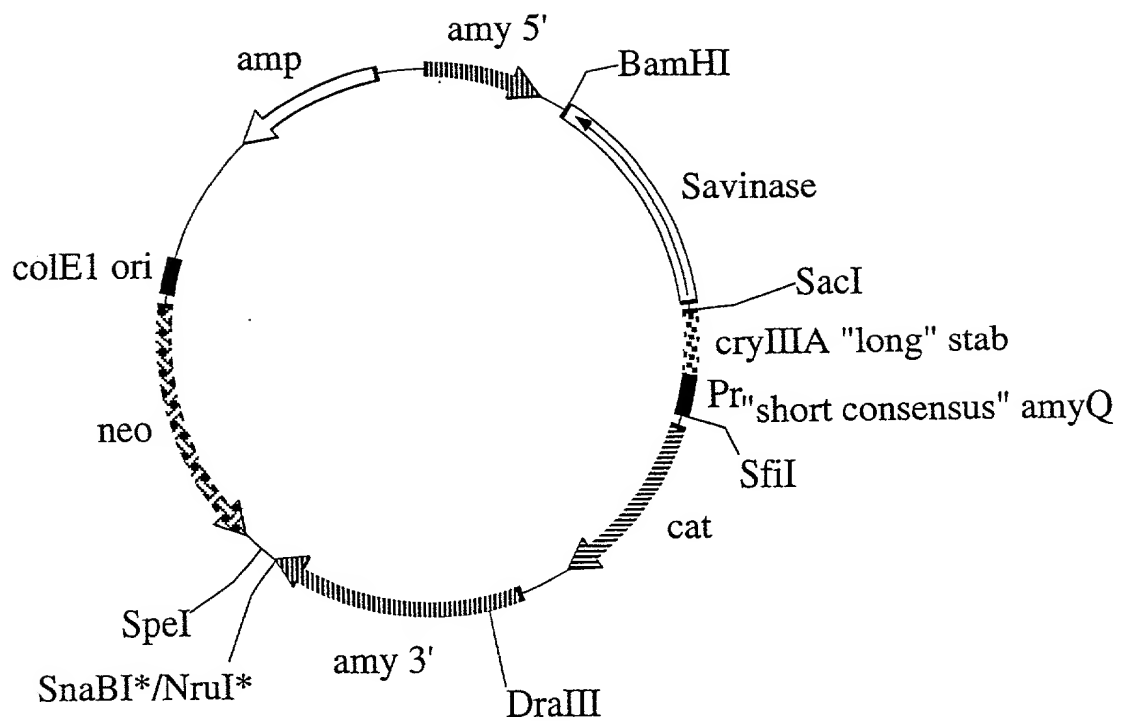


Fig. 26

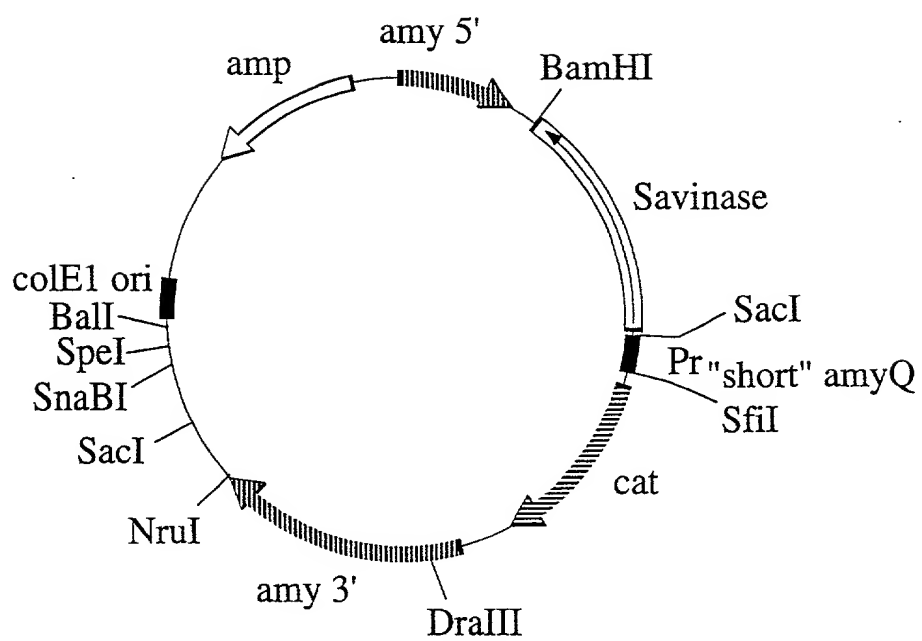


Fig. 27



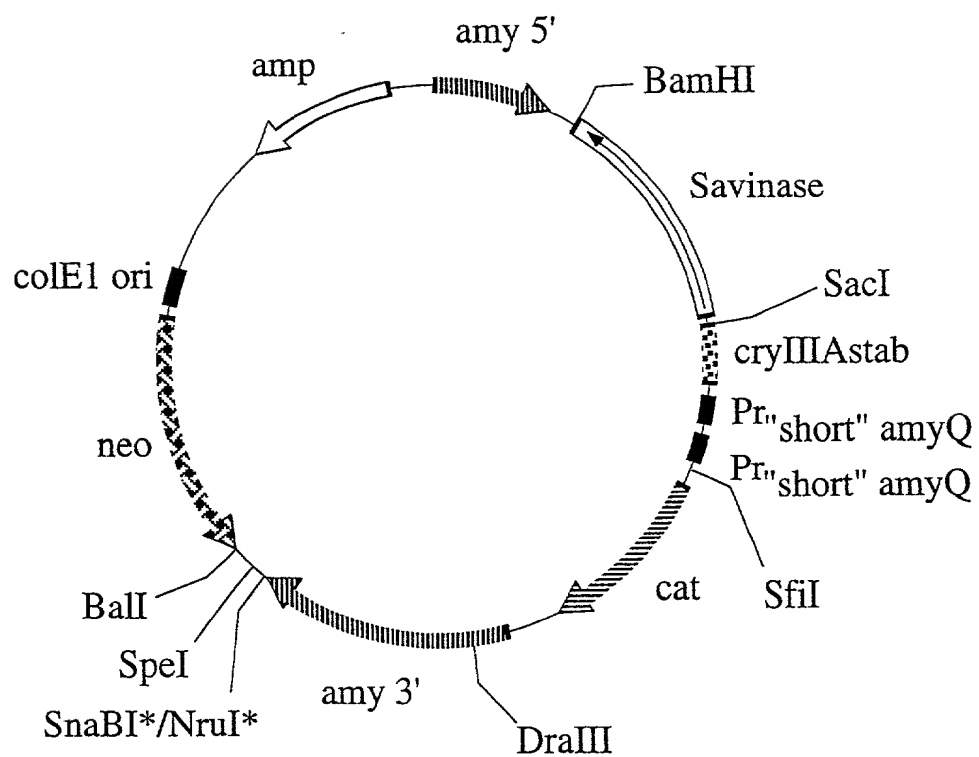


Fig. 29